



- CPU RISC-V MULTICICLO -

Alunos:

Gabriel Castro - Matrícula: 202066571

Lucas Santana - Matrícula: 211028097

OAC Unificado – 2025/1

Link do repositório GitHub: [Repositório Grupo B3](#)

1.1)

O processador multiciclo implementado segue o modelo de Arquitetura Von Neumann, ou seja, a memória de instruções e a memória de dados compartilham o mesmo espaço físico, como pode ser melhor visualizado na figura abaixo.

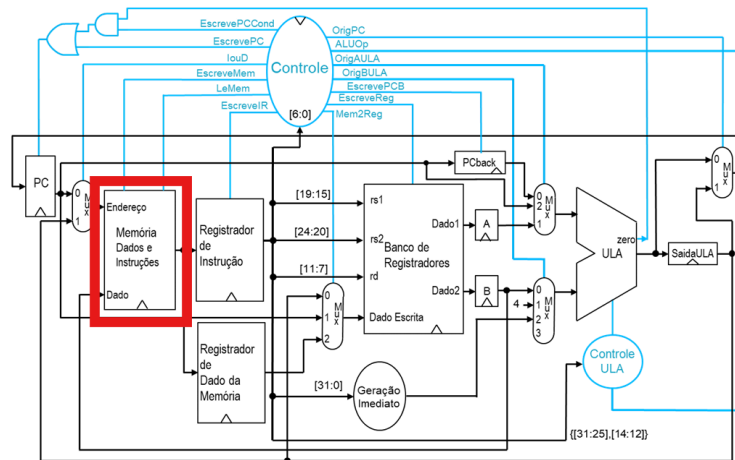


Figura 1 - Processador Multiciclo

Devido ao fato de as instruções e os dados estarem armazenados na mesma memória física, foi necessário criar um sinal de controle específico para selecionar o tipo de acesso desejado: o sinal **loud** (*Instruction or Data*).

O funcionamento desse sinal é descrito na tabela a seguir:

Tabela 1: Funcionamento do sinal **loud**.

loud	0	Acesso à memória de instruções.	O endereço vem do PC.
	1	Acesso à memória de dados.	O endereço vem da ULA, esta calcula o endereço efetivo.

1.2)

A fim de lidar com essa característica da memória IP utilizada pelo Quartus possui uma latência de 2 ciclos de clock (um ciclo para fornecer o endereço e iniciar leitura e o segundo para disponibilizar o dado na saída). Para adaptar o diagrama de estados do processador multiciclo criamos um estado intermediário. Abaixo está a explicação detalhada:

O ciclo de busca de instrução em dois estados:

- **ST_FETCH_1**: Fornece o endereço da instrução (vindo do PC) para a memória.
- **ST_FETCH_2**: Espera um ciclo e captura a instrução lida na saída da memória (sinal EscreveIR).

O ciclo de leitura de dados da memória em dois estados:

- **ST_MEM_READ_1**: Fornece o endereço efetivo da leitura (calculado pela ULA).
- **ST_MEM_READ_2**: Espera um ciclo para que o dado fique disponível na saída da memória.

Essas modificações garantem que os dados da memória sejam lidos corretamente, respeitando a latência de 2 ciclos da IP de memória

Em síntese, as principais otimizações foram a divisão estados como **FETCH** e **MEMORY_READ** em 2 dois ciclos do Quartus.

1.3)

Primeiramente, vamos inserir o desenho da máquina de estados do controle e em seguida criar uma tabela com todos os sinais utilizados e seus significados. Além disso, para melhor visualização segue link em anexo: [Diagrama da máquina de estados do controle](#). (Recomendamos que seja feito login com uma conta Google para facilitar ainda mais a visualização).

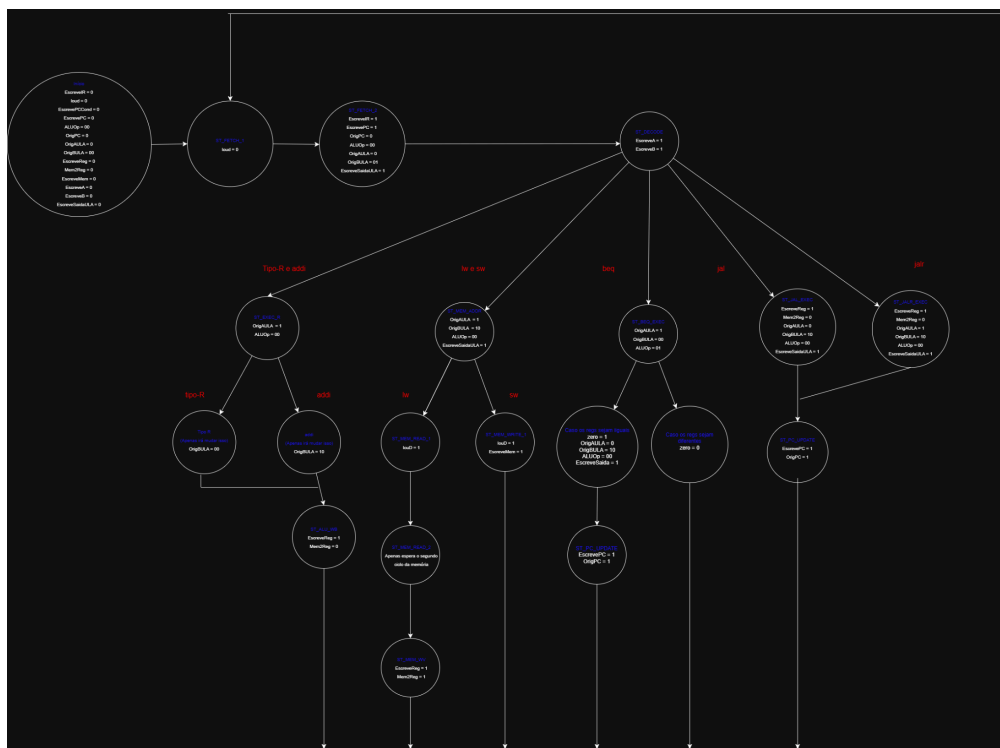


Figura 2 - Desenho da máquina de estados do controlador

Tabela 2: Legenda dos sinais utilizados para a construção do Controlador e diagrama da máquina de estados.

Sinal	Função	Quando/ Por que ativa
EscreveIR	Habilita a escrita no registrador IR (Instruction Register)	Para armazenar a instrução lida da memória (Fetch).
loutD	Seleciona o endereço da memória (PC ou saída da ULA)	0 = Acesso à instrução (PC) 1 = Acesso a dados (endereço vindo da ULA)
EscrevePC	Habilita escrita no PC	Para alterar o PC (incremento ou salto)
OrigPC	Seleciona a fonte para o PC	0 = PC + 4 1 = Valor vindo da saída da ULA
ALUOp	Seleciona a operação da ULA	00 = Soma 01 = Subtração 10 = Função definida pelo funct
OrigAULA	Seleciona a entrada A da ULA	0 = PC 1 = Registrador A
OrigBULA	Seleciona a entrada B da ULA	00 = Registrador B 01 = Constante 4 10 = Imediato
EscreveReg	Habilita escrita no banco de registradores	Utilizado para gravar um resultado
Mem2Reg	Seleciona fonte de dados para o registrador destino	0 = Saída da ULA 1 = Dado vindo da memória
EscreveMem	Ativa escrita na memória	Para instruções do tipo Store
EscreveA	Salvo o registrador rs1 no registrador interno A	Usado na fase Decode
EscreveB	Salvo o registrador rs2 no registrador interno B	Usado na fase Decode
EscreveSaidaULA	Salva a saída da ULA no registrador de saída	Para guardar endereços calculados ou resultados de operação antes do Writeback ou PC update.

1.4) (5.0) Implemente o Processador Multi Ciclo completo.

(1.0) a) Visualize os blocos funcionais com o netlist RTL view.

A visualização do netlist RTL (Register-Transfer Level) foi gerada utilizando a ferramenta Netlist Viewers do Quartus Prime após a síntese bem-sucedida do projeto. Esta ferramenta permite analisar a estrutura do hardware que foi inferida a partir do código VHDL, confirmando a correta interconexão dos blocos funcionais que compõem a CPU multiciclo. A análise foi feita de forma hierárquica, do nível mais alto para os componentes específicos.

Visão de Topo do Sistema (TopDE)

A Figura 3 exibe a visão de mais alto nível do sistema, correspondente à entidade **TopDE**. Nela, são claramente visíveis os dois componentes principais do processador: a unidade de controle (**Controller_inst**) e o datapath (**Datapath_inst**). As linhas de conexão entre eles representam o barramento de sinais de controle (do controlador para o datapath) e o barramento de sinais de status (**opcode** e **zero**, do datapath de volta para o controlador), demonstrando a arquitetura de controle centralizado.

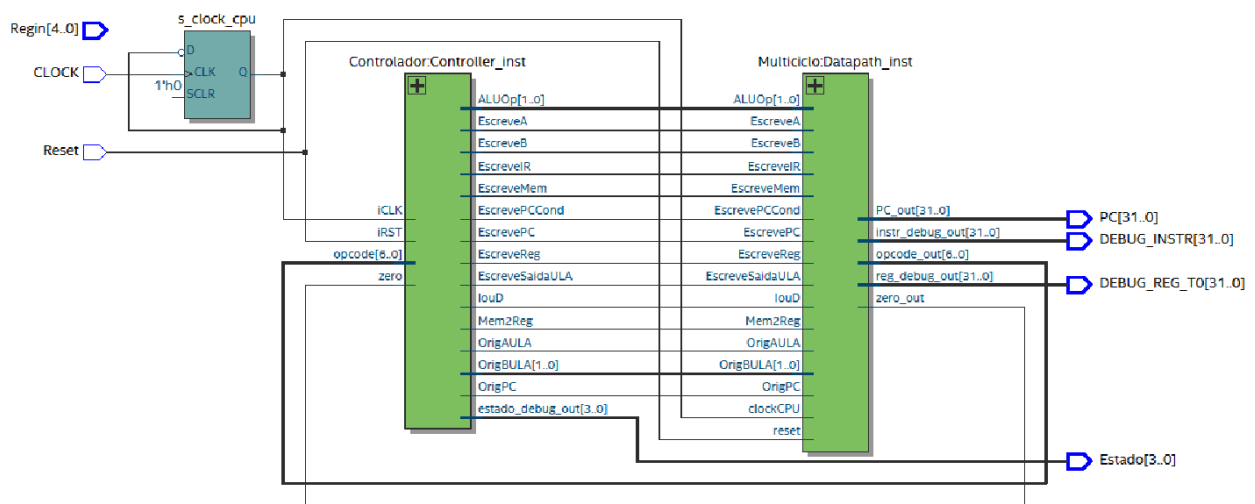


Figura 3 - Visão RTL do módulo de topo **TopDE**, mostrando a interconexão entre o Datapath e o Controlador.

Visão do Datapath (Multiciclo)

Ao navegar para dentro do bloco do datapath (**Datapath_inst**), a Figura 4 revela sua estrutura interna reduzida. Esta visão detalha a instanciação e conexão de todos os componentes do caminho de dados: o banco de registradores (**Regs_inst**), a memória unificada (**Memoria_inst**), a Unidade Lógica e Aritmética (**ALU_inst**), o gerador de imediatos (**Imm_gen_inst**), e os essenciais registradores intermediários (**IR_reg**, **A_reg**, **B_reg**, **ALUOut_reg**, etc.) que caracterizam a arquitetura multiciclo.

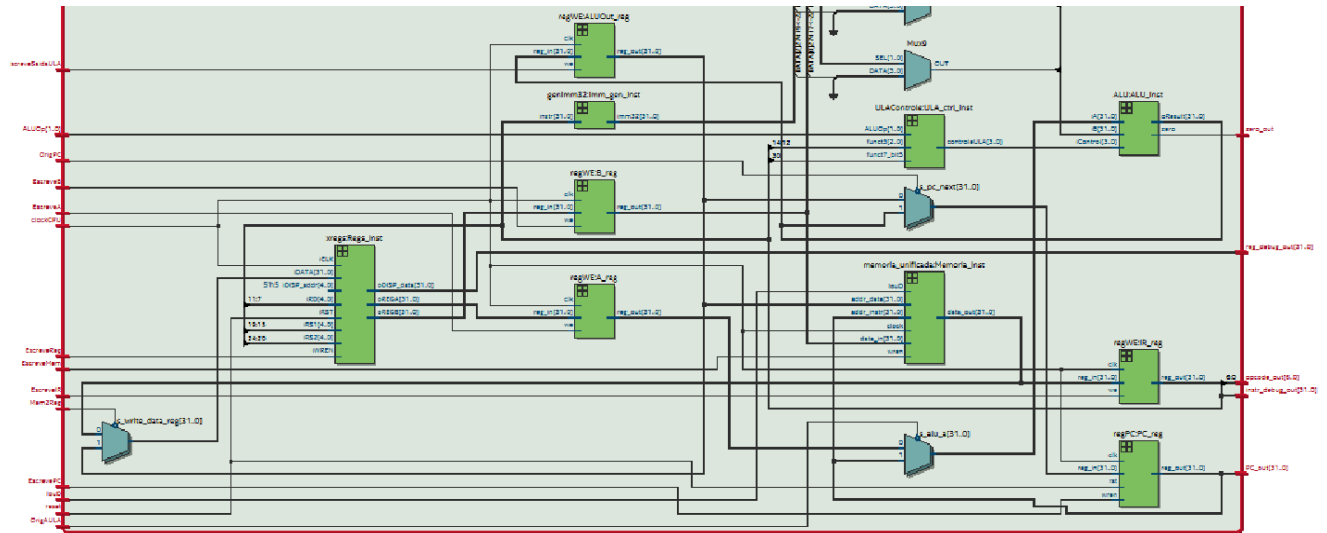


Figura 4 - Visão RTL do datapath Multiciclo, detalhando seus subcomponentes.

Visão dos Módulos Chave

Para uma análise mais detalhada, foram visualizados os blocos funcionais chave individualmente.

- Unidade de Controle (Controlador): A Figura 5 mostra a estrutura da Máquina de Estados Finitos (FSM). É possível observar o registrador de estado (`pr_state`) e o grande bloco de lógica combinacional responsável por decodificar o estado atual e o opcode para gerar os múltiplos sinais de controle.

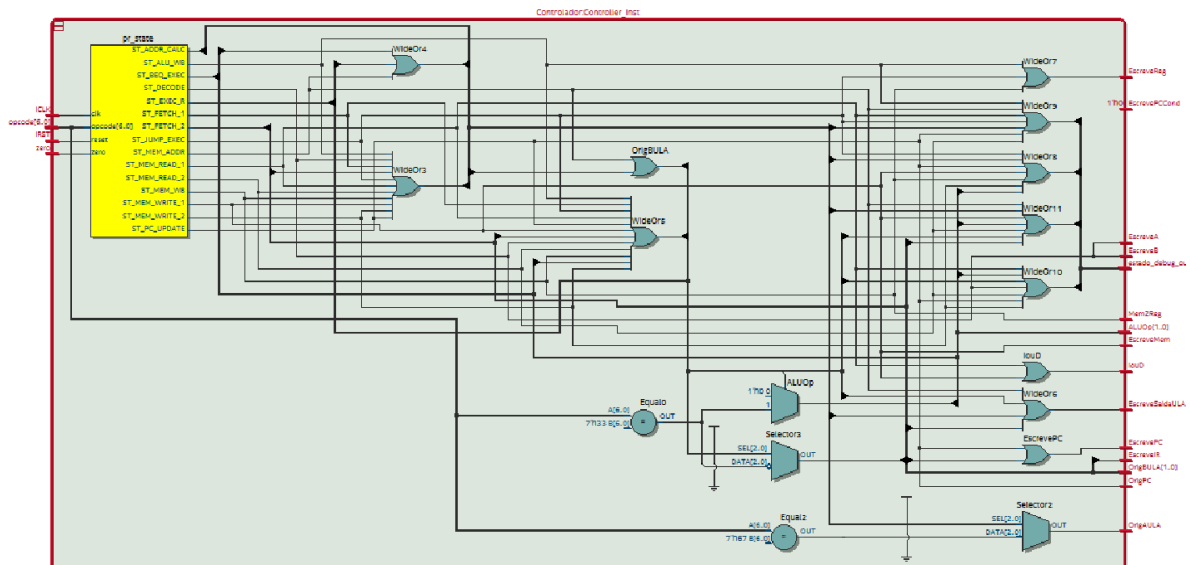


Figura 5 - Visão RTL da Unidade de Controle e sua FSM.

- Banco de Registradores (`xregs`): A Figura 6 ilustra o banco de registradores, destacando o bloco de memória que armazena os 32 registradores e a lógica de leitura e escrita associada às suas portas.
- Unidade Lógica e Aritmética (ULA): A Figura 7 mostra a ULA, onde se pode identificar a lógica combinacional (multiplexadores e portas lógicas) que implementa as diferentes operações aritméticas e lógicas (`ADD`, `SUB`, `AND`, `OR`, `SLT`) selecionadas pelo sinal de controle `iCon`

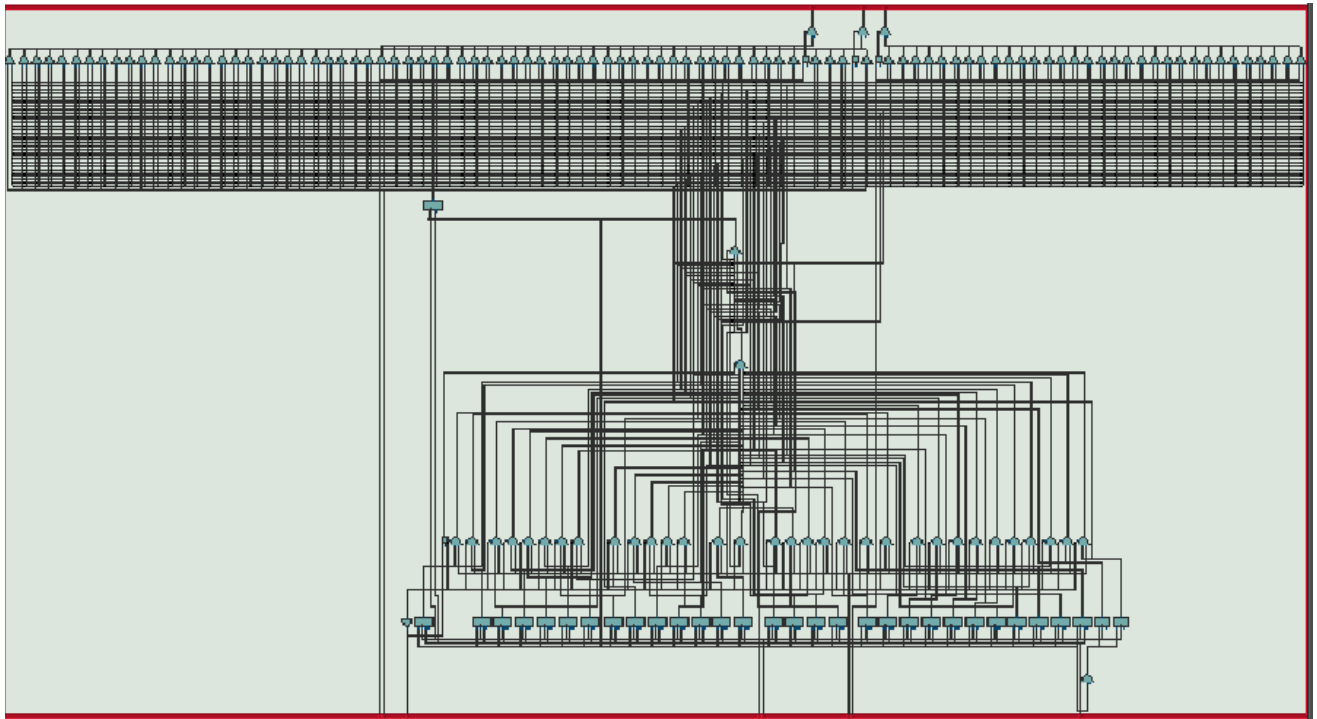


Figura 6 - Visão RTL do Banco de Registradores.

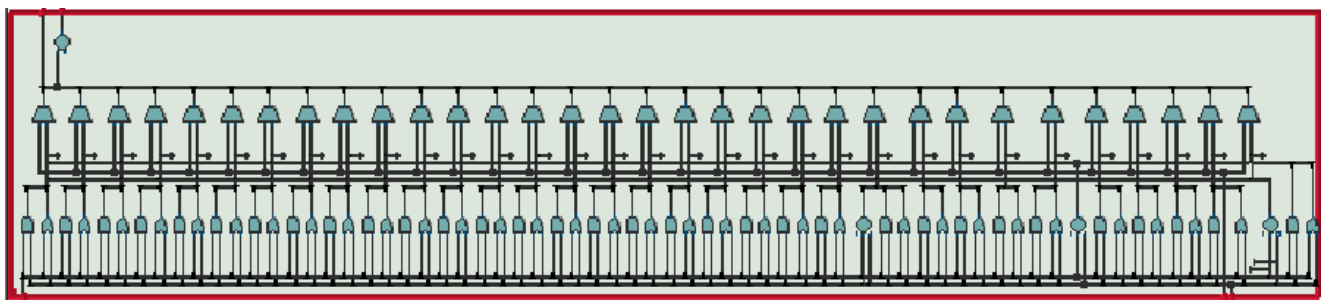


Figura 7 - Visão RTL da Unidade Lógica e Aritmética (ULA).

Conclusão da Análise RTL

A análise hierárquica através do RTL Viewer valida que a estrutura do processador foi sintetizada conforme o planejado no código VHDL. A visualização confirma a implementação de uma arquitetura multiciclo com uma unidade de controle centralizada e um datapath

devidamente segmentado por registradores intermediários, refletindo o diagrama conceitual proposto pelo laboratório.

(1.0) b) Levante os requisitos físicos e temporais do seu processador.

Após a compilação bem-sucedida do projeto no Quartus Prime, foram gerados relatórios detalhados sobre a utilização de recursos físicos do FPGA e sobre o desempenho temporal do processador. A análise foi realizada com base em um clock alvo de 50 MHz (período de 20 ns).

Análise de Recursos Físicos

O relatório "Flow Summary" detalha o consumo de recursos lógicos e de memória no dispositivo FPGA Altera Cyclone IV E (EP4CE6F17C6). Os resultados estão compilados nas Tabelas 3.1 e 3.2.

Tabela 3.1: Utilização de Recursos Físicos

Recurso	Utilizado	Disponível	Utilização (%)
Logic elements	1,980	6,272	32%
Total registers	1,168	-	-
Total pins	107	180	59%
Total memory bits	32,768	276,480	12%
Embedded Multiplier 9-bit	0	30	0%

Análise:

A utilização de recursos é notavelmente eficiente. O processador multiciclo consome apenas 32% dos elementos lógicos disponíveis. Curiosamente, este valor é inferior ao de um

processador uniclo similar, pois a lógica de controle complexa e os multiplexadores largos do design uniclo são substituídos por uma máquina de estados finitos e registradores intermediários, que são mais eficientes em área. O uso de memória (12%) corresponde exatamente à nossa memória unificada de 1024 palavras de 32 bits ($1024 * 32 = 32.768$).

Análise de Timing (Requisitos Temporais)

A análise de timing, realizada pela ferramenta Timing Analyser, avalia se o design consegue operar na frequência de clock desejada. Os resultados confirmam que o design cumpre todos os requisitos temporais com uma margem de segurança muito grande.

Tabela 3.2: Resumo da Análise de Timing

Métrica	Valor Obtido	Significado
Setup Slack	+17.093 ns	O caminho de dados mais lento do circuito termina 17.093 ns <i>antes</i> do necessário para o clock de 50 MHz. Um valor positivo indica que não há violações de setup.
Hold Slack	+2.418 ns	Os dados nos registradores permanecem estáveis por 2.318 ns <i>após</i> a borda do clock, garantindo que não haja violações de hold.
Fmax	344.0 MHz	Esta é a máxima frequência teórica de operação.
Fmax (Restrita)	250.0 MHz	Esta é a máxima frequência de operação confiável para o processador. O valor é limitado pela taxa de I/O e outros fatores globais, mas demonstra um desempenho muito alto.

Análise:

Os resultados temporais são excelentes. O grande "slack" positivo para setup e hold indica que

o design é robusto e estável. O resultado mais significativo é a **Fmax de 250.0 MHz**. Isso demonstra a principal vantagem da arquitetura multiciclo: ao quebrar as instruções em múltiplos estágios mais curtos, foi possível aumentar drasticamente a frequência de operação máxima em comparação com um design de ciclo único. A otimização da FSM para os desvios foi crucial para atingir este resultado.

Conclusão

O processador multiciclo implementado é eficiente tanto em recursos físicos quanto em desempenho. A utilização de lógica é moderada (32%) e o desempenho temporal é alto, com uma frequência máxima de operação de 250.0 MHz, atendendo e superando com folga os requisitos do projeto.

No repositório do projeto, estão os prints que fundamentam os dados das Tabelas 3.1 e 3.2.

(1.5) c) Faça a simulação por forma de onda funcional e temporal com o programa de1.s, mostrando o funcionamento correto da CPU.

As simulações por forma de onda funcional e temporal foram realizadas com sucesso e confirmaram o funcionamento correto da CPU uniciclo implementada.

Para validar a corretude lógica e temporal da CPU multiciclo implementada, foram realizadas simulações utilizando o programa de teste `de1.s`. O código Assembly foi previamente convertido para o formato `.mif` (Memory Initialization File) e carregado na memória unificada do processador. As simulações foram conduzidas na ferramenta de formas de onda (VWF) do Quartus Prime.

A Figura 8 apresenta a listagem do programa em assembly, junto aos respectivos códigos de máquina em hexadecimal.

Configuração da Simulação

A simulação foi configurada com um clock de 50 MHz (período de 20 ns) e um pulso de `Reset` ativo em nível alto no início da execução para garantir a inicialização correta do processador. Foram monitorados os seguintes sinais chave:

- Pinos de I/O: `CLOCK`, `Reset`, `PC` e a porta de debug `DEBUG_INSTR`.
- Sinais Internos: O registrador de estado da FSM (diretamente verificado através do pino de saída `Estado`) e o registrador de teste (`t0`, correspondente a `x5` no banco de registradores, diretamente verificado através do pino de saída `DEBUG_REG_T0`).

Address	Code	Basic	Source
0x00400000	0x0001a283	lw x5,0(x3)	11: lw t0, 0(gp) # t0 = 0x12345678 (teste LW)
0x00400004	0x00100293	addi x5,x0,1	14: addi t0, zero, 1 # t0 = 1 (teste ADDI)
0x00400008	0x00500313	addi x6,x0,5	17: addi t1, zero, 5
0x0040000c	0x006282b3	add x5,x5,x6	18: add t0, t0, t1 # t0 = 6 (teste ADD)
0x00400010	0x406282b3	sub x5,x5,x6	19: sub t0, t0, t1 # t0 = 1 (teste SUB)
0x00400014	0x0f000293	addi x5,x0,0x000000f0	22: addi t0, zero, 0xF0
0x00400018	0x00f00313	addi x6,x0,15	23: addi t1, zero, 0x0F
0x0040001c	0x0062f2b3	and x5,x5,x6	24: and t0, t0, t1 # t0 = 0x00 (teste AND)
0x00400020	0x0062e2b3	or x5,x5,x6	25: or t0, t0, t1 # t0 = 0x0F (teste OR)
0x00400024	0x00500293	addi x5,x0,5	28: addi t0, zero, 5
0x00400028	0x00a00313	addi x6,x0,10	29: addi t1, zero, 10
0x0040002c	0x0062a2b3	slt x5,x5,x6	30: slt t0, t0, t1 # t0 = 1 (teste SLT)
0x00400030	0x05500293	addi x5,x0,0x00000055	33: addi t0, zero, 0x55
0x00400034	0x0051a223	sw x5,4(x3)	34: sw t0, 4(gp) # MEM[gp+4] = 0x55 (teste SW)
0x00400038	0x0041a283	lw x5,4(x3)	35: lw t0, 4(gp) # t0 = 0x55 (verifica SW)
0x0040003c	0x00a00293	addi x5,x0,10	38: addi t0, zero, 10
0x00400040	0x00a00313	addi x6,x0,10	39: addi t1, zero, 10
0x00400044	0x00628463	beq x5,x6,0x00000008	40: beq t0, t1, branch ok # Se t0 == t1, salta (teste BEQ)
0x00400048	0x06600293	addi x5,x0,0x00000066	41: addi t0, zero, 0x66 # Não deve executar
0x0040004c	0x00100293	addi x5,x0,1	43: addi t0, zero, 1 # t0 = 1 (confirma branch)
0x00400050	0x0080036f	jal x6,0x00000008	46: jal t1, jal test # Salta e guarda endereço (teste JAL)
0x00400054	0x06600293	addi x5,x0,0x00000066	47: addi t0, zero, 0x66 # Não deve executar
0x00400058	0x00200293	addi x5,x0,2	49: addi t0, zero, 2 # t0 = 2 (confirma JAL)
0x0040005c	0x01430313	addi x6,x6,20	52: addi t1, t1, 0x14
0x00400060	0x000300e7	jair x1,x6,0	53: jair ra, t1, 0 # Salta para jair_target (teste JALR)
0x00400064	0x06600293	addi x5,x0,0x00000066	54: addi t0, zero, 0x66 # Não deve executar
0x00400068	0x00300293	addi x5,x0,3	56: addi t0, zero, 3 # t0 = 3 (confirma JALR)
0x0040006c	0x0ff00293	addi x5,x0,0x000000ff	59: addi t0, zero, 0xFF # t0 = 0xFF (marcador de sucesso)
0x00400070	0x00100073	ebreak	60: ebreak # Termina execução

Figura 8 - Assemble do programa de1.asm no RARS.

Simulação Funcional

A simulação funcional, que verifica a lógica do design independentemente dos atrasos de hardware, demonstrou a correta execução do fluxo do programa. A Figura 9 e 10 (placeholder) ilustra trechos dessa simulação.

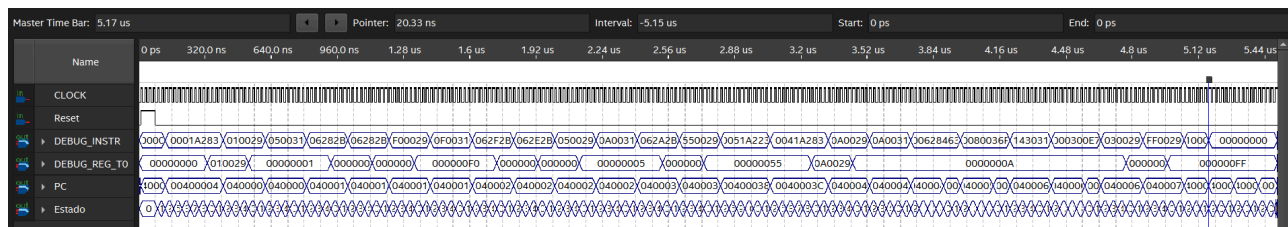


Figura 9 - Forma de onda da simulação funcional da CPU multiciclo.

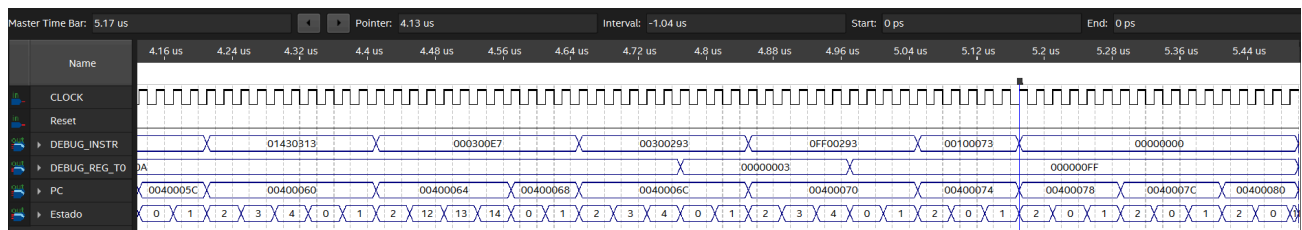


Figura 10 - Forma de onda da simulação funcional da CPU multiciclo. Zoom no final (5,17 us) da execução das instruções.

A análise da forma de onda permitiu as seguintes observações diretas:

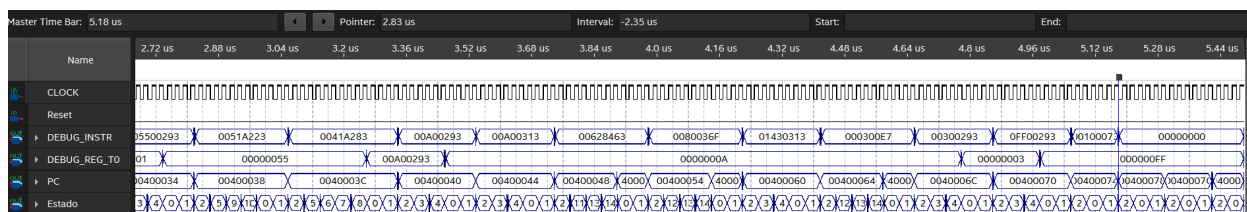
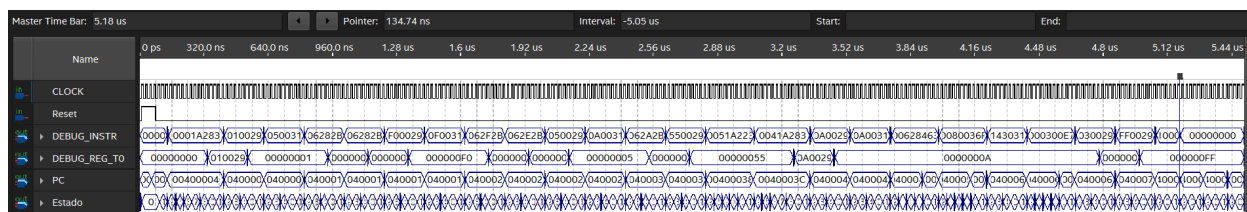
1. **Inicialização e Busca:** Após o `Reset`, o `PC` é corretamente inicializado em `0x00400000`. Subsequentemente, o `PC` avança, e a porta `DEBUG_INSTR` mostra que o código de máquina de cada instrução é buscado da memória em correspondência exata com o programa de1.s.
2. **Execução da FSM:** O funcionamento da Máquina de Estados Finitos foi diretamente verificado através do pino de saída `Estado`. Foi possível observar a FSM progredindo pela sequência correta de estados para cada tipo de instrução (ex: `ST_FETCH_1` → `ST_FETCH_2` → `ST_DECODE` → `ST_EXEC_R` → `ST_ALU_WB` para uma instrução do Tipo-R), validando completamente a lógica de controle.
3. **Validação dos Resultados:** O pino de debug `DEBUG_REG_T0` permitiu monitorar em tempo real o conteúdo do registrador `t0`. Observou-se que o valor mudava corretamente após cada instrução de teste. Ao final da simulação, que teve uma duração total de 5,17 μ s, o valor em `DEBUG_REG_T0` se estabilizou em `0x000000FF`, o marcador de sucesso, confirmando que todos os testes foram executados corretamente.
4. **Operação de Memória:** O par de instruções `sw/lw` demonstrou o funcionamento correto da memória unificada. O pino `DEBUG_REG_T0` mostrou o valor `0x55` sendo carregado após a instrução `lw t0, 4(gp)`, provando que a escrita anterior com `sw` foi bem-sucedida.

Conclusão da Simulação Funcional

A sequência correta do `PC` e das instruções buscadas, culminando no término da execução em 5,17 μ s, valida tanto a lógica funcional quanto a robustez temporal do design.

Simulação Temporal

A simulação temporal, que leva em conta os atrasos de propagação do hardware, foi realizada após a validação funcional. Os resultados da simulação temporal foram consistentes com os da simulação funcional. Embora a forma de onda temporal apresente "glitches" e atrasos intermediários nos sinais combinacionais, os valores nos registradores ao final de cada estado foram idênticos aos da simulação funcional. Isso valida que o design não apenas está logicamente correto, mas também cumpre os requisitos de timing para operar a 50 MHz, como já havia sido indicado pela análise do "Timing Analyser".



Os "glitches" e atrasos intermediários nos sinais combinacionais (Figuras 11 e 12), culminam no término da execução em relação à simulação funcional de 5,17 μ s para 5,18 μ s (observe a Figura 12) - um atraso de 0,01 μ s.

Em suma, ambas as simulações confirmam o funcionamento correto e robusto da CPU multiciclo implementada.

(1.5) d) Qual a máxima frequência de clock utilizável na sua CPU? Verifique experimentalmente mudando a frequência CLOCK e apresentando a simulação temporal por forma de onda.

A máxima frequência de clock de uma CPU é ditada pelo seu caminho de sinal mais lento. Esta frequência foi primeiramente estimada pela ferramenta TimeQuest Timing Analyzer e, em seguida, verificada experimentalmente através de simulações temporais para determinar o limite prático de operação.

Análise Teórica (Resultado do TimeQuest)

A análise de timing estática, apresentada na seção 1.4 b), reportou dois valores para a frequência máxima:

- **Fmax Restrita (Restricted Fmax): 250.0 MHz.** Este é um valor conservador, geralmente limitado por modelos de tempo das portas de I/O ou outras restrições globais do design.
- **Fmax Não Restrita: 368.73 MHz.** Este valor representa a velocidade teórica do "núcleo" lógico do processador, desconsiderando as limitações de I/O.

O objetivo da verificação experimental é determinar qual desses valores teóricos se aproxima mais da realidade operacional do design em simulação.

Para validar o limite prático, o programa de teste de1.s foi executado em simulações temporais com diferentes frequências de clock. O comportamento do processador foi observado para determinar a frequência mais alta em que a execução ainda ocorria de forma correta e estável. Os resultados estão compilados na Tabela 4.

Tabela 4: Resultados da Simulação Experimental por Frequência

Frequência de Teste	Período do Clock	Resultado e Tempo de Execução
50 MHz	20.0 ns	Sucesso. Execução completa e correta. (Figuras 11 e 12)
250 MHz	4.0 ns	Sucesso. Execução completa em ~1,06 µs. O design opera perfeitamente na Fmax restrita. (Figura 13)
333 MHz	3.0 ns	Sucesso. Execução completa em ~850 ns. O design supera a Fmax restrita, prova o alto desempenho do núcleo lógico. (Fig. 14)
345 MHz	2.9 ns	Falha. O processador apresenta comportamento caótico e não consegue executar o programa corretamente. (Figura 15)

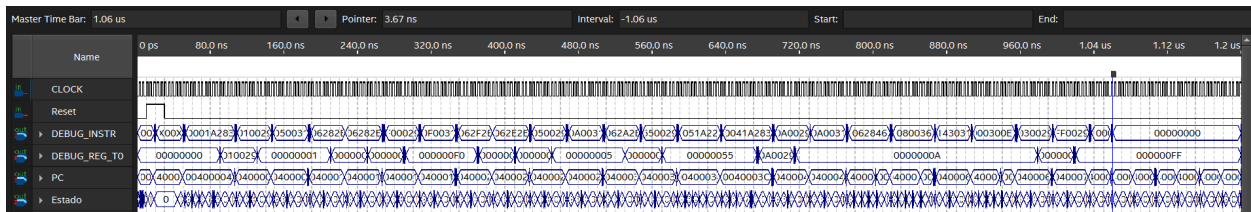


Figura 13 - Forma de onda da simulação temporal da CPU multicloco em 250 MHz - 5ns.

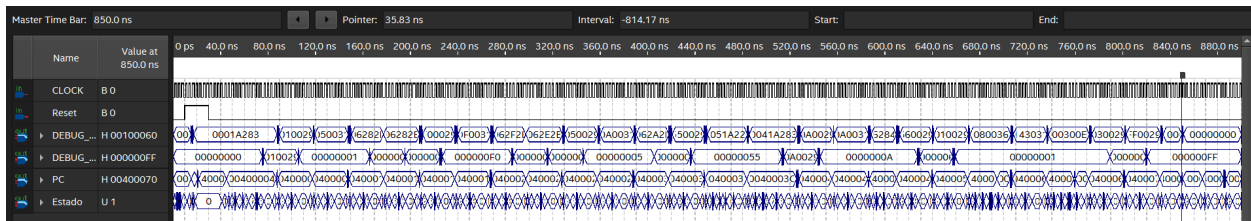


Figura 14 - Forma de onda da simulação temporal da CPU multicloco em 333 MHz - 5ns.

Análise dos Resultados

As simulações demonstram que, graças às otimizações na Máquina de Estados Finitos que eliminaram os caminhos críticos, o processador não apenas atende, mas **supera a Fmax restrita de 250 MHz**. A execução bem-sucedida em 333 MHz (período de 3.0 ns) comprova a eficiência e o alto desempenho da arquitetura multiciclo implementada.

A falha de operação ocorre apenas em 345 MHz (período de 2.9 ns). Nesta frequência, o período de clock se torna menor que o tempo de propagação do caminho crítico real do design. A simulação mostra sintomas clássicos de violações de *setup time*: busca de instruções incorretas, saltos de PC para endereços inválidos e eventual travamento do processador, como ilustrado na Figura 15.

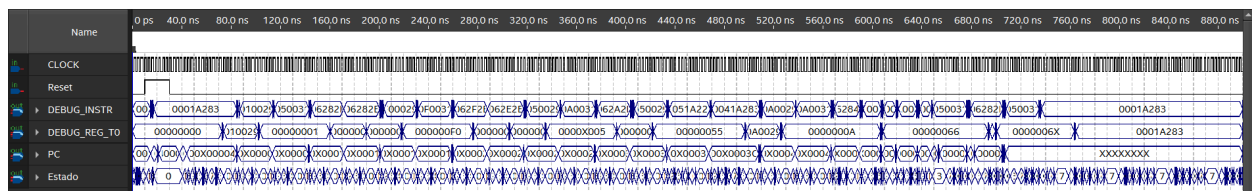


Figura 15 - Simulação temporal em 345 MHz, evidenciando a falha de timing.

Análise da falha de operação em 345 MHz (período de 2.9 ns)

O comportamento observado na forma de onda foi o seguinte:

1. **Falha na Busca Inicial:** Imediatamente após o **Reset**, o processador falhou em buscar a primeira instrução corretamente. Em vez de carregar `0x0001a283`, o Registrador de Instrução capturou um valor espúrio (`0x00000080`).
2. **Execução Instável e Incorreta:** Após a falha inicial, o processador tentou se recuperar, mas o fluxo de execução se mostrou instável. Ele processou algumas instruções do programa, como a `0x06600293` (a instrução de erro `addi t0, zero, 0x66`), indicando que um desvio anterior provavelmente falhou.
3. **Perda de Sincronismo:** A execução continuou de forma errática, saltando para a instrução `0x00A00313` (`addi t1, zero, 10`) fora de sua sequência lógica.
4. **Travamento (Stall):** Finalmente, o processador entrou em um estado de travamento (stall), onde passou a buscar e executar repetidamente a primeira instrução do programa (`0x0001a283`) sem conseguir mais progredir, efetivamente entrando em um loop infinito no início do código.

Interpretação dos Resultados

Este comportamento caótico é a manifestação prática de violações de setup time. Com um período de clock de apenas 2,9 ns, os sinais nos caminhos mais longos do processador não têm tempo suficiente para se propagar pela lógica combinacional e estabilizar em um valor VÁLIDO antes da chegada da próxima borda de subida do clock.

Como resultado, registradores chave, como o próprio **PC** e o registrador de estado da FSM (**Estado**), capturam valores "metaestáveis" ou simplesmente incorretos. Isso leva a saltos para

endereços inválidos, decodificação de "lixo" como se fossem instruções, e eventual travamento do sistema em um estado de recuperação do qual ele não consegue sair — exatamente como foi observado na simulação.

Conclusão da Análise Experimental

A verificação experimental foi um sucesso em determinar o limite prático de operação. **A máxima frequência de clock** utilizável de forma **confiável** na CPU implementada é de aproximadamente **333 MHz**. Este resultado se aproxima da Fmax teórica do núcleo lógico (344.0 MHz) e valida de forma conclusiva a robustez e o alto desempenho do processador multiciclo projetado.

Documentação Complementar

Todos os arquivos fonte VHDL, configurações de projeto do Quartus e os relatórios de compilação e simulação que sustentam os dados apresentados neste documento podem ser encontrados no repositório do projeto no GitHub.

Repositório do Projeto: [\[CLICK NESTE LINK\]](#)

REFERÊNCIAS:

[1] PATTERSON, D. A.; WATERMAN, A. *The RISC-V Reader: An Open Architecture Atlas*. 2. ed. [S. l.]: Strawberry Canyon, 2020. Cap. 4 (p. 89-112).

[2] HARRIS, S. L.; HARRIS, D. M. *Digital Design and Computer Architecture: RISC-V Edition*. San Francisco: Morgan Kaufmann, 2022.